

ATLAS実験でのトップクォークと ボトムクォークに崩壊する 荷電ヒッグス粒子の探索

Search for a Charged Higgs Boson at the ATLAS Experiment

佐藤構二

宇宙史センター構成員会議

2018/11/22(木)

LHC実験

スイス・アルプス山脈

世界最高エネルギーでの加速器実験

$\sqrt{s} \leq 14 \text{ TeV}$ での陽子・陽子衝突

2010年 LHC加速器稼動開始。

2011-12年 物理Run開始。Ecm=7-8 TeV, 25 fb⁻¹のデータ取得。

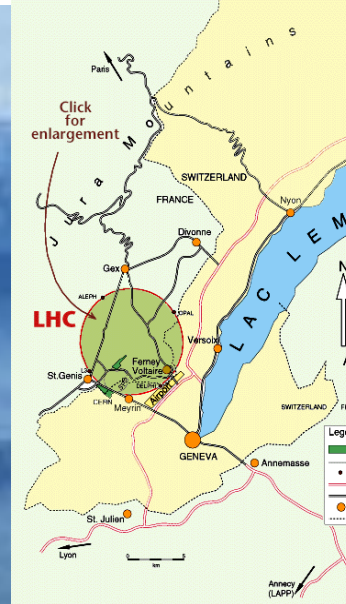
2012年 LHC加速器のATLAS/CMS両実験がヒッグス粒子を発見。

2015-18年 エネルギーをEcm=13 TeVに上げてRun 2実験。

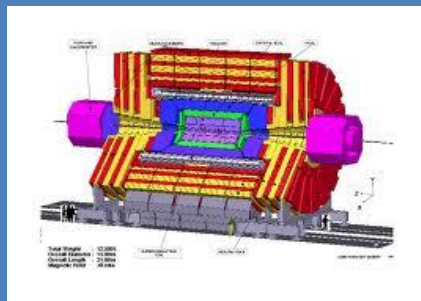
2021-2023年 Run 3。Ecm=14 TeV, ~300 fb⁻¹のデータセット

2026-203X年 HL-LHC実験。~3000 fb⁻¹の大データセット。

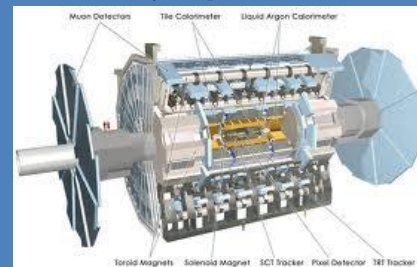
ジュネーブ市街



CMS実験



ATLAS実験




円周27km

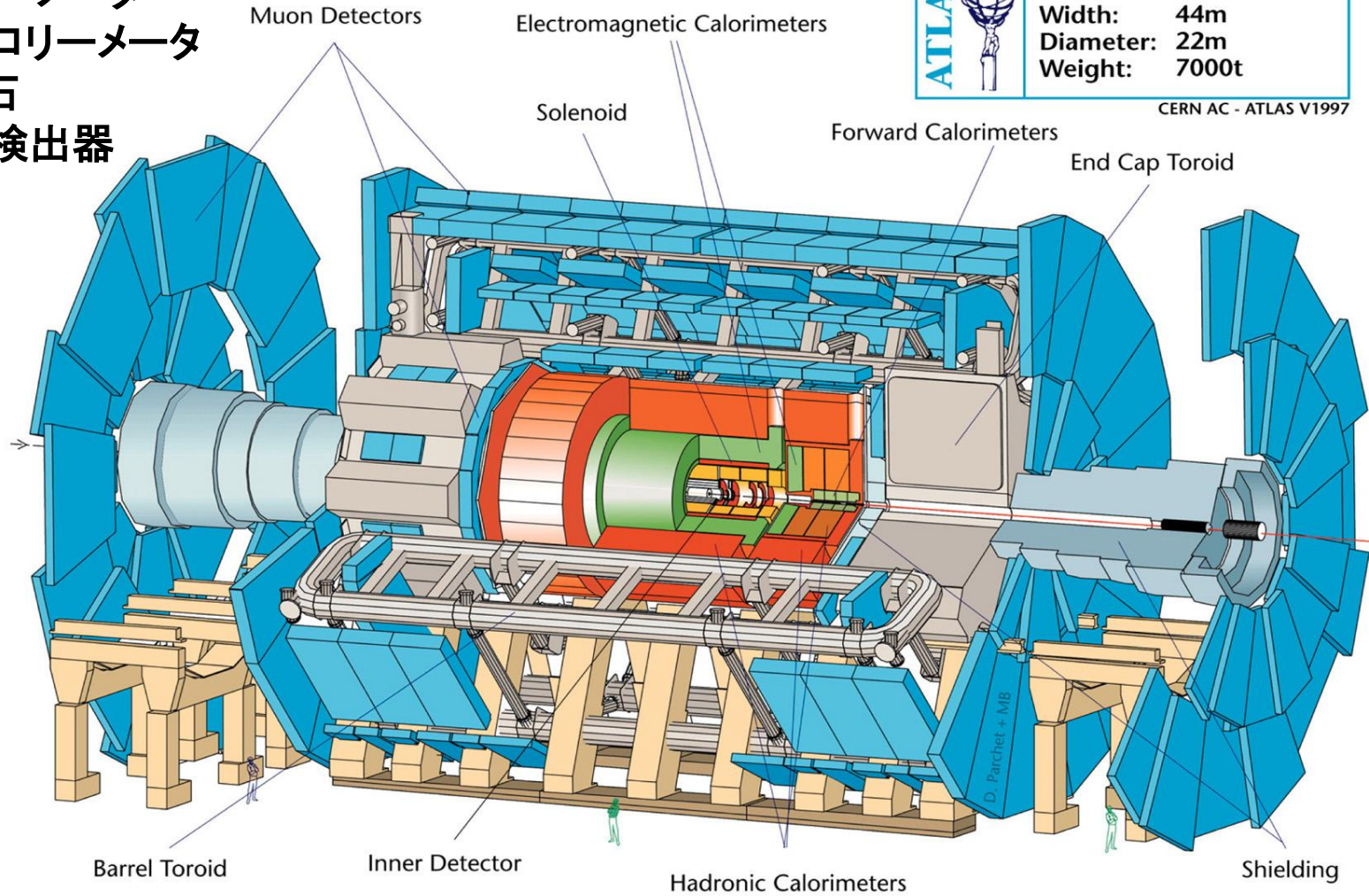
陽子を最大7 TeVまで加速して正面衝突

- シリコン検出器
- 飛跡検出器
- ソレノイド磁石
- 電磁カロリメータ
- ハドロンカロリメータ
- トロイド磁石
- ミューオン検出器

ATLAS検出器

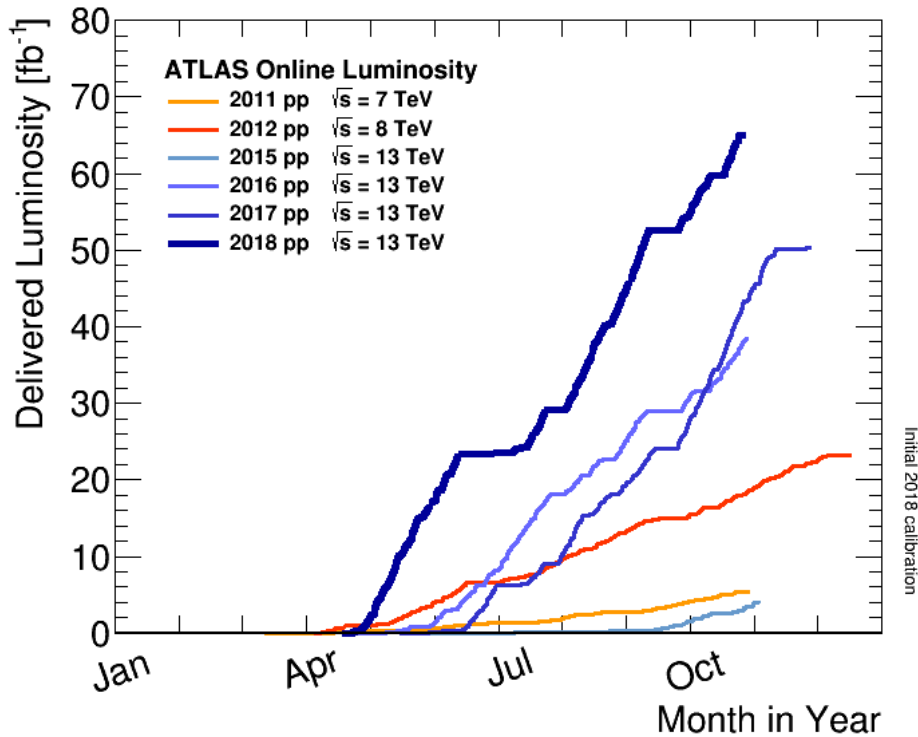
総重量 7,000 t

	Detector characteristics	
	Width:	44m
	Diameter:	22m
	Weight:	7000t
CERN AC - ATLAS V1997		



- 最高エネルギーでの、**さまざまな素粒子反応の研究**
 - ヒッグス粒子、標準理論、トップクォーク、Bメソン、超対称性、新物理探索、重イオン衝突...

Luminosities in Run 2



$E_{CM} = 13$ (TeV)

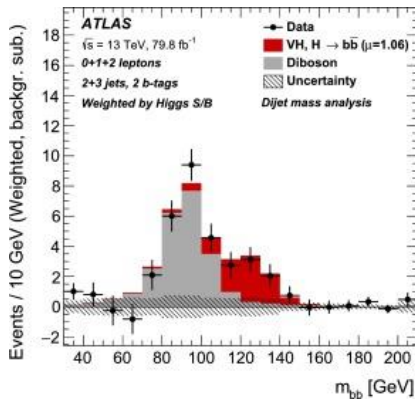
Run 1	E_{CM} (TeV)	integ lumi [fb ⁻¹]
2011	7	~5
2012	8	~21

本講演の物理解析では、2015～2016年に取得した36.1 fb⁻¹を使った。Run 2全体では、物理に使えるのは~128 fb⁻¹。

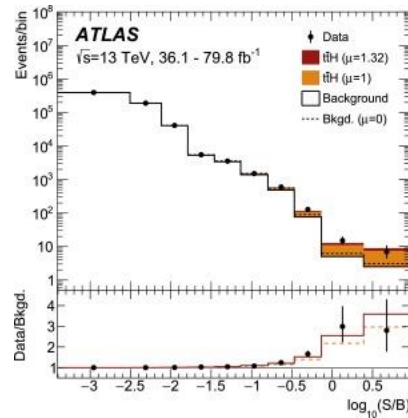
Run 2	Peak lumi E34 cm ⁻² s ⁻¹	Days pp physics	Recorded integ lumi [fb ⁻¹]	累積 Recorded lumi [fb ⁻¹]
2015	0.5	56	3.9	3.9
2016	1.4	122	36.0	39.9
2017	1.9	150	46.9	86.8
2018	2.1	152	62.2	148.8

2018年夏のハイライト

$H \rightarrow bb$ 崩壊モードを観測 (5.4σ)



ttH 生成過程を観測 (6.3σ)

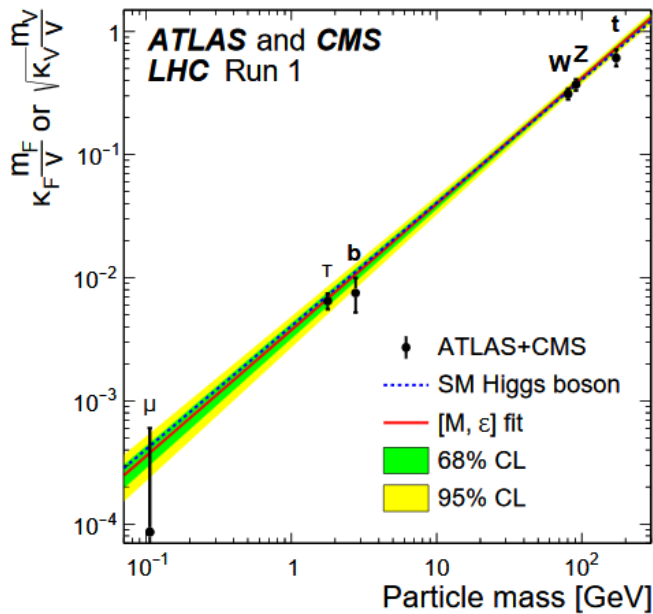


本多俊介氏 (2018年3月 Ph. D.)

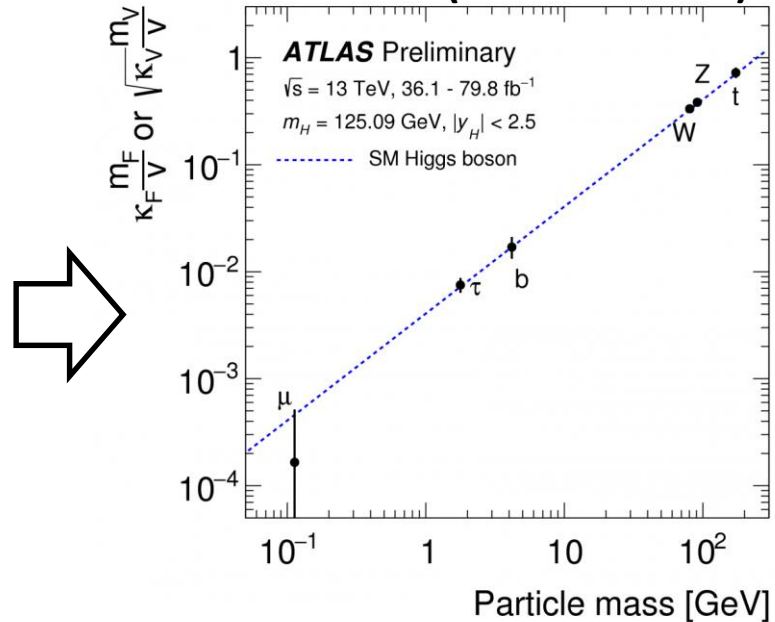
- 2019年物理学会若手奨励賞
- 第20回高エネルギー物理学奨励賞

ヒッグス粒子の結合の測定

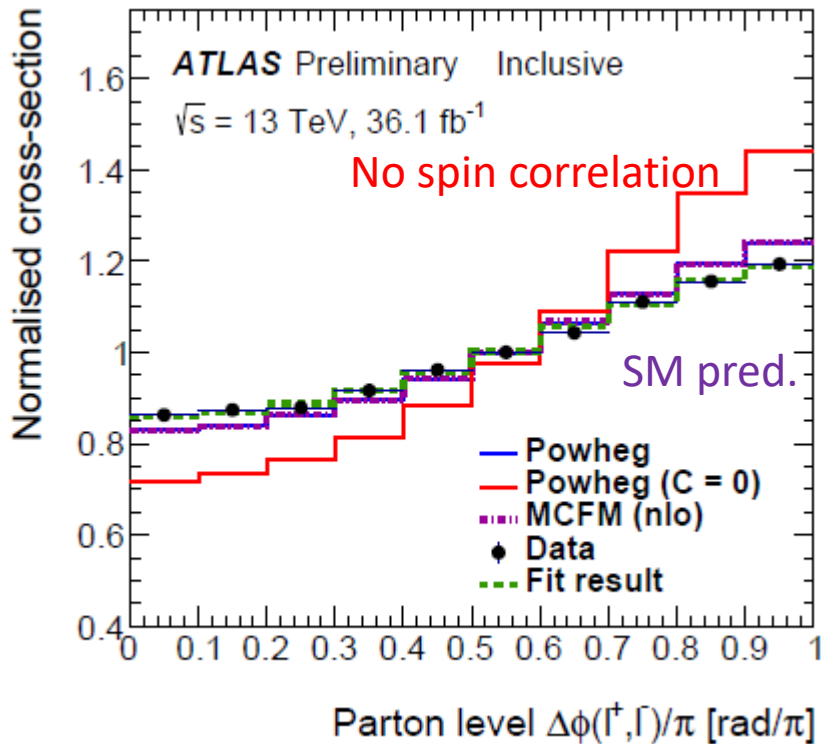
Run 1



Run 2 (36.1-79.8 fb⁻¹)



Top Spin Correlation



- $t\bar{t} \rightarrow (Wb)(Wb) \rightarrow (e\nu b)(\mu\nu b)$
- e と μ の間の角度相関。
- SM(NLO QCD)の予言値よりも強い相関がみられた。
- テンプレート・フィット

$$n_i = f_{SM} \cdot n_{spin} + (1 - f_{SM}) \cdot n_{nospin}$$
 フィット結果:

$$f_{SM} = 1.250 \pm 0.026 \pm 0.063$$
- SMからのずれ: 3.2σ (syst込み)

荷電ヒッグス粒子の探索

筑波大学グループは、 $H^+ \rightarrow tb$ 崩壊の探索解析に貢献してきた。

Run 1

- 永田和樹- Ph.D. in Dec 2016
- JHEP 03 (2016) 127

Run 2 (36.1 fb⁻¹)

- 萩原睦人- Ph.D. in Feb 2018
- JHEP 11 (2018) 085

荷電ヒッグス粒子を探すモチベーション

- 多くのBSMモデルでは、ヒッグス機構を拡張する。ほとんどの場合、荷電を持ったヒッグス粒子 H^+ 、 H^- の存在が期待される。
- 標準理論: ヒッグス・ダブレットを一個入れた。

$$\Phi = \begin{pmatrix} \phi^+ \\ \phi^0 \end{pmatrix} = \begin{pmatrix} \phi_1 + i\phi_2 \\ \phi_3 + i\phi_4 \end{pmatrix}$$

– 4つの自由度 $\rightarrow W^+, W^-, Z$ の質量 + ヒッグス粒子

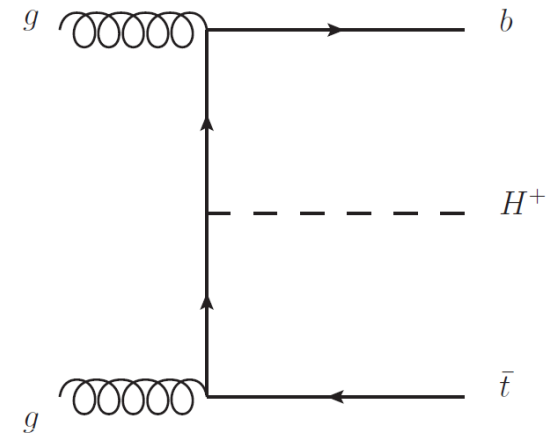
- ヒッグス・ダブレットを2つ入れたら、、、(2HDM、MSSMの例)

$$H_u = \begin{pmatrix} H_u^+ \\ H_u^0 \end{pmatrix}, H_d = \begin{pmatrix} H_d^0 \\ H_d^- \end{pmatrix}$$

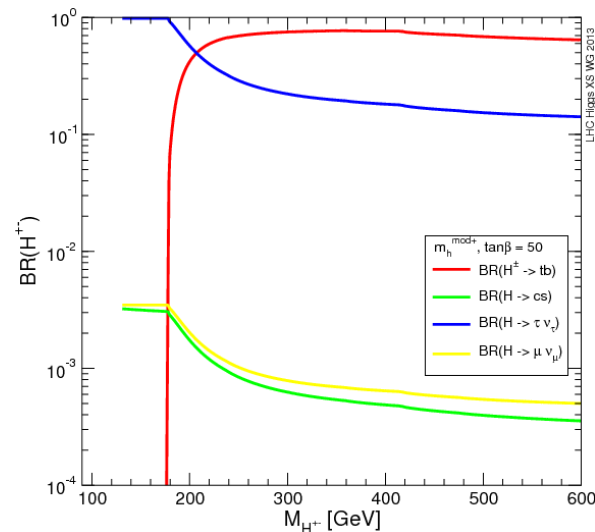
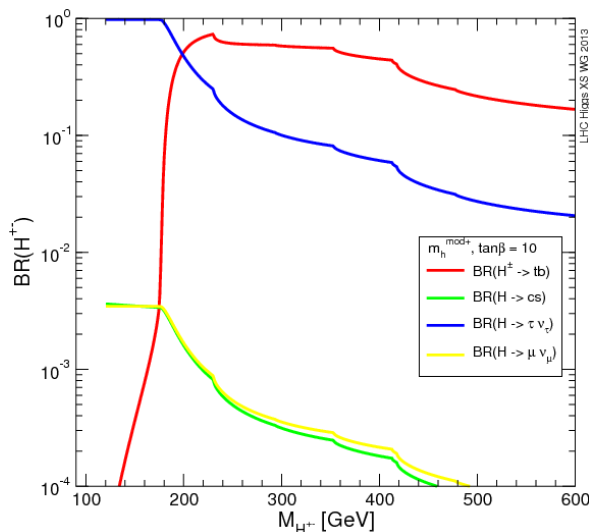
– 8つの自由度 $\rightarrow W^+, W^-, Z$ の質量 + 5個のヒッグス粒子
 h, H, A, H^+, H^-

LHCでの荷電ヒッグスの性質

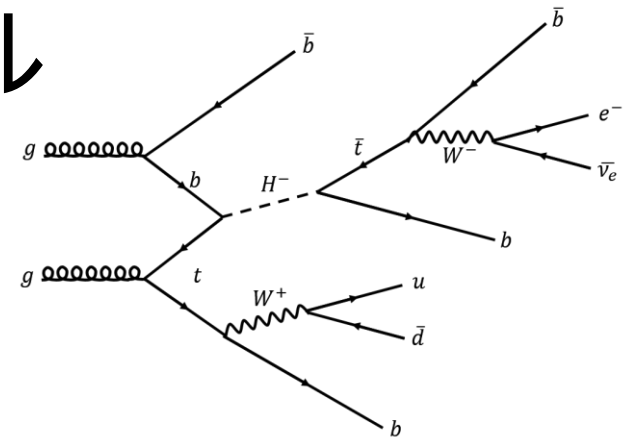
- H^+ は、重いトップやボトムクォークとの結合が強いため、LHCではトップクォークを伴って生成するケースが多いと予想される。
 - $\bar{t}bH^+$ 生成
- $m_{H^+} \geq 200$ GeVでは、 $H^+ \rightarrow tb$ 崩壊の分岐比が大きい。



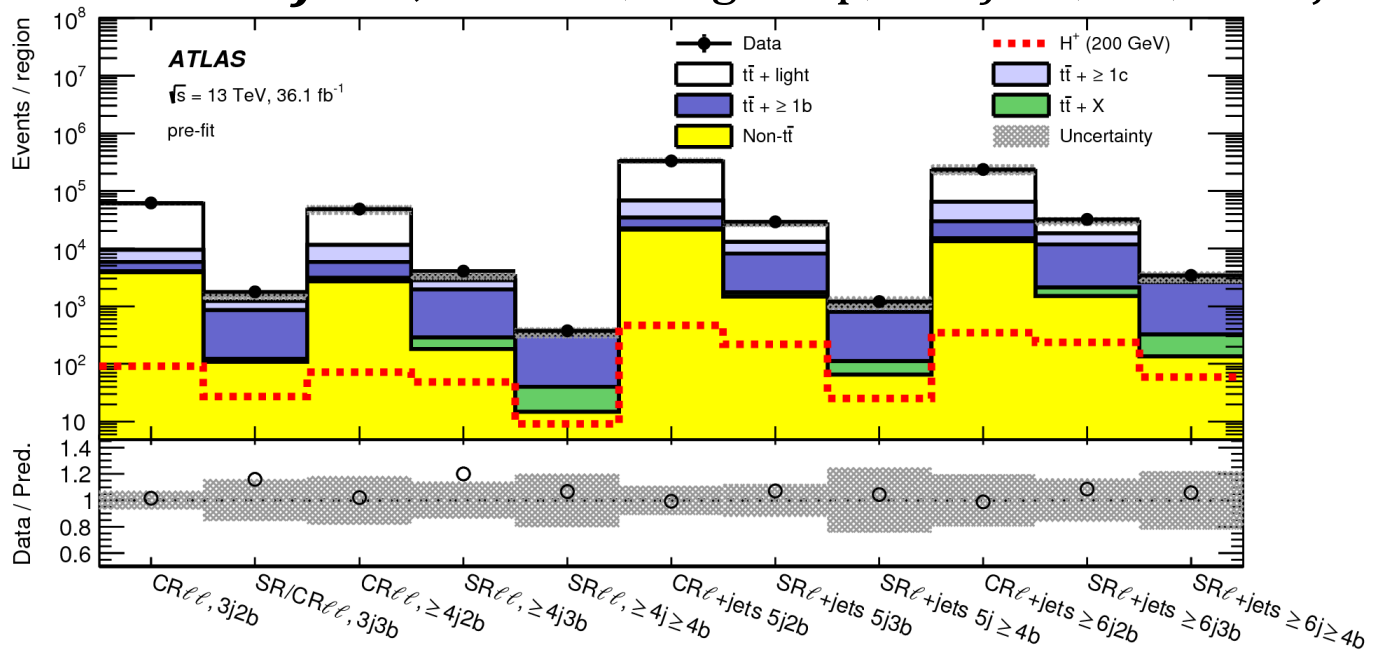
崩壊分岐比 MSSM (m_h^{mod+} シナリオ) の例



解析チャンネル

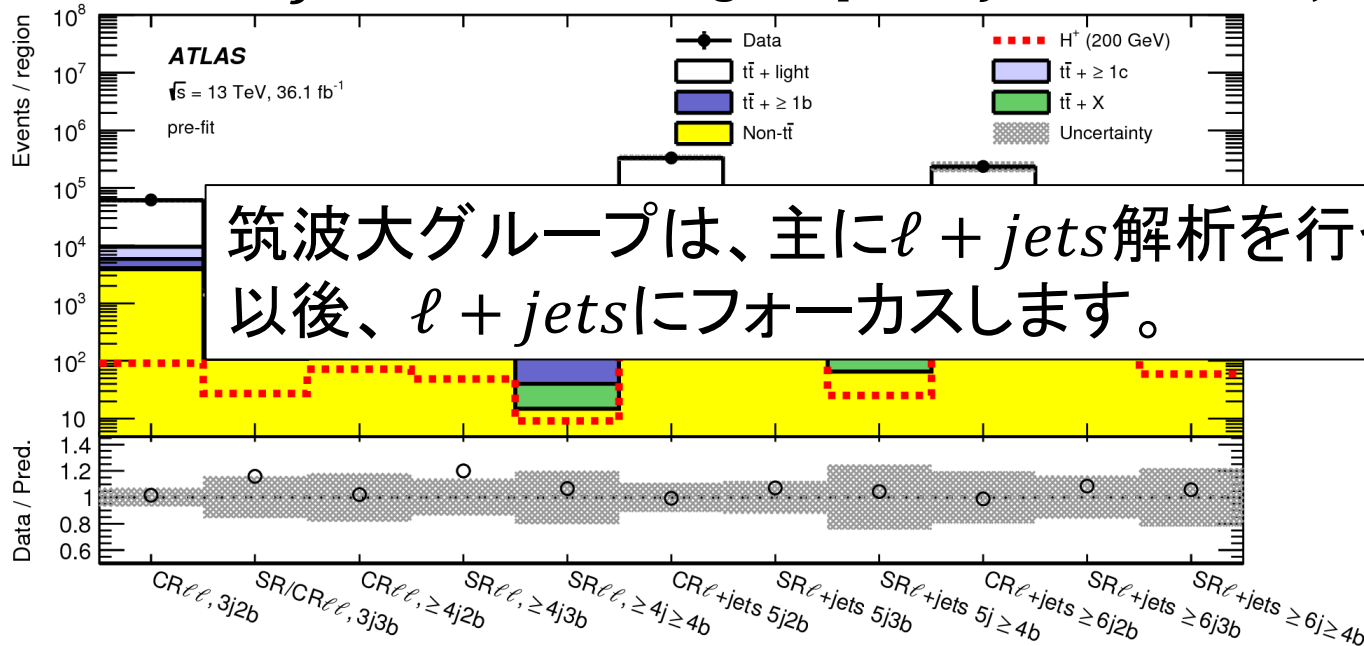
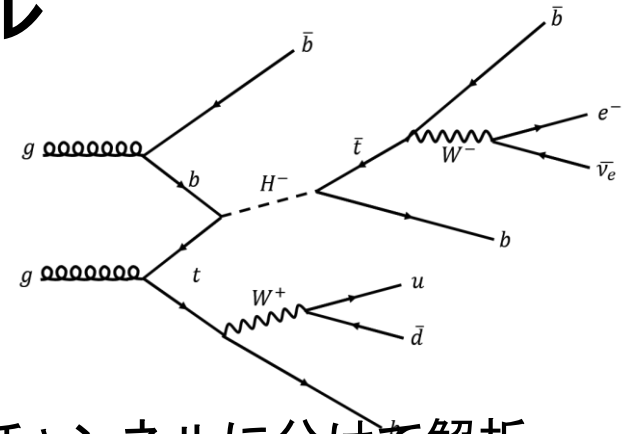


- $\bar{t}bH^+ \rightarrow \bar{t}b (t\bar{b}) \rightarrow (W^-\bar{b})b(W^+b)b$
- 2つのWの崩壊モードによって、異なった終状態の解析チャンネルにわけると。
 - $\ell + jets$ チャンネル: $\ell\nu + qq'4b$
 - Dileptonチャンネル: $\ell\nu\ell\nu + 4b$
- イベント中のジェット数/bタグ数によって、さらにサブチャンネルに分けて解析。
 - $\ell + jets$: $\ell + 5j3b, \ell + 5j \geq 4b, \ell + \geq 6j3b, \ell + \geq 6j \geq 4b$
 - dilepton: $\ell\ell + \geq 4j3b, \ell\ell + \geq 4j \geq 4b$
- バックグラウンド: $t\bar{t} + jets, t\bar{t} + V, \text{single top}, V + jets, t\bar{t}h, \text{multijets}$



解析チャンネル

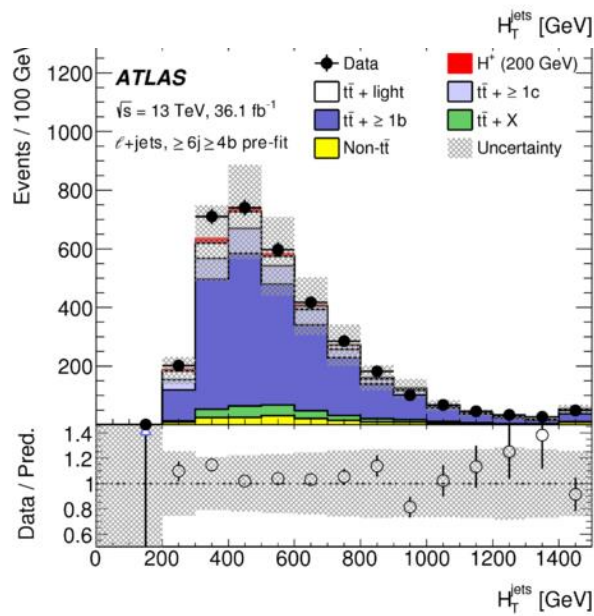
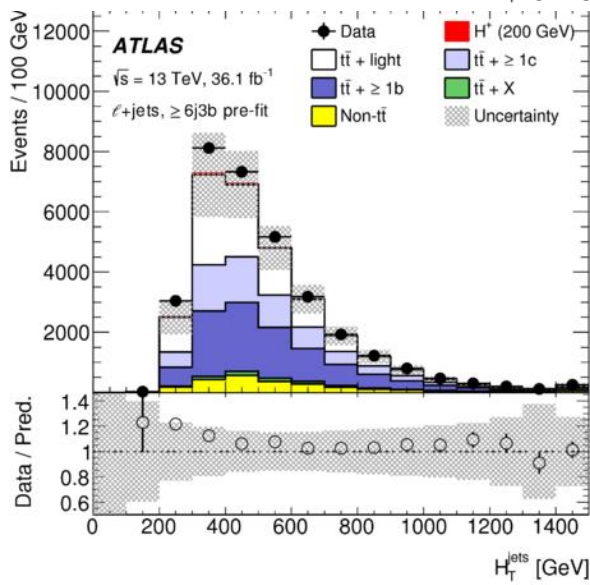
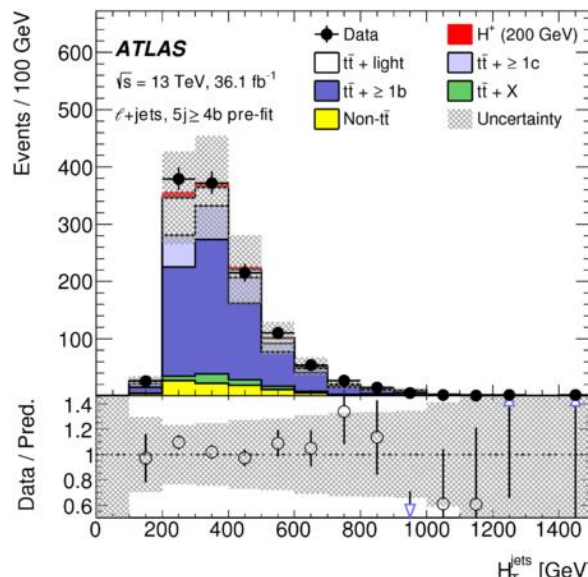
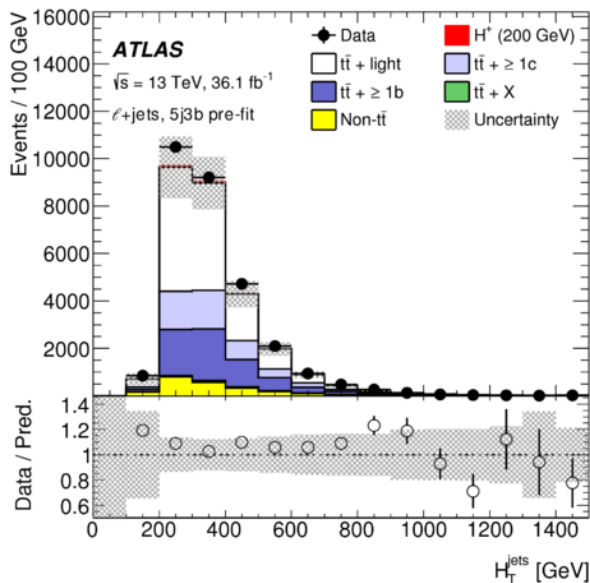
- $\bar{t}bH^+ \rightarrow \bar{t}b (t\bar{b}) \rightarrow (W^- \bar{b})b(W^+ b)b$
- 2つのWの崩壊モードによって、異なった終状態の解析チャンネルにわけける。
 - $\ell + jets$ チャンネル: $\ell\nu qq + 4b$
 - Dileptonチャンネル: $\ell\nu\ell\nu + 4b$
- イベント中のジェット数/bタグ数によって、さらにサブチャンネルに分けて解析。
 - $\ell + jets$: $\ell + 5j3b, \ell + 5j \geq 4b, \ell + 6j3b, \ell + \geq 6j \geq 4b$
 - dilepton: $\ell\ell + \geq 4j3b, \ell\ell + \geq 4j \geq 4b$
- バックグラウンド: $t\bar{t} + jets, t\bar{t} + V, \text{single top}, V + jets, t\bar{t}h, \text{multijets}$



筑波大グループは、主に $\ell + jets$ 解析を行った。
 以後、 $\ell + jets$ にフォーカスします。

H_T^{jet} 分布 (ℓ + jets チャンネル)

- H_T^{jet} : イベント中のジェットのPtのスカラー和。



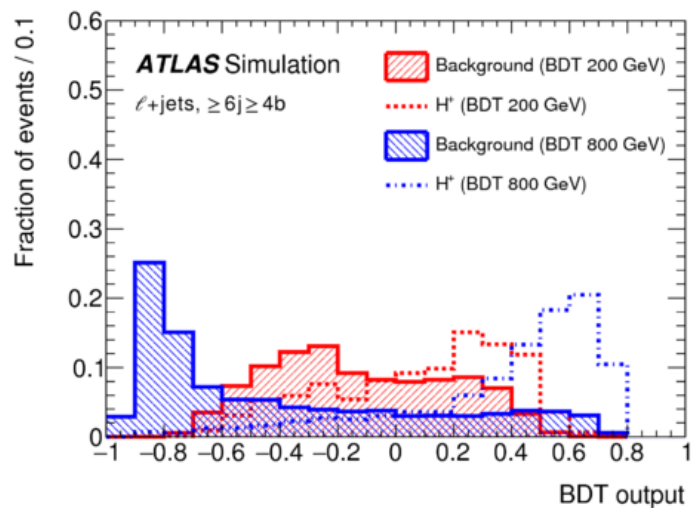
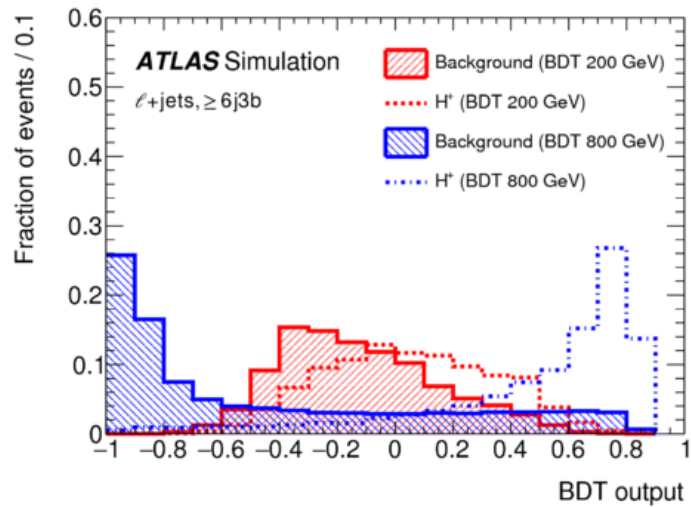
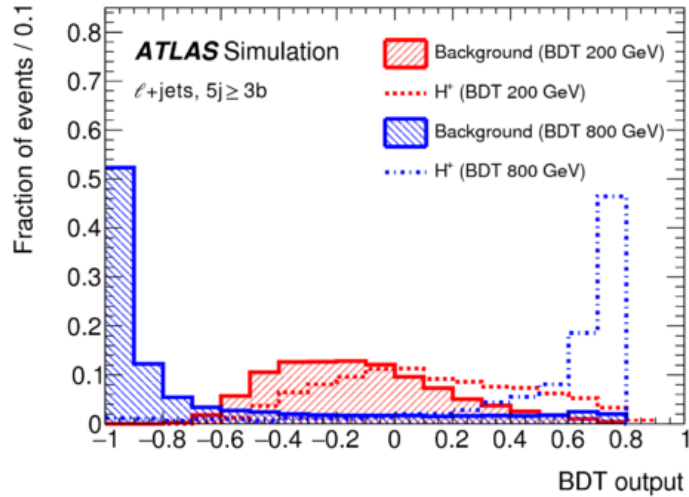
B D T 変数(ℓ +jetsチャンネル)

- よりよいS/B分離のために、BDTをトレーニングした。
 - 全11変数。
 - もっとも効く変数は H_T^{jets} , 次いで $P_T(j_1)$ 。
 - S/B分離が難しい低質量領域($m_{H^+} \leq 300$ GeV)では、キネマティックスとbタグ情報に基づき、「信号らしさ」を評価するDiscriminantを追加(12変数)。

ℓ +jets channel

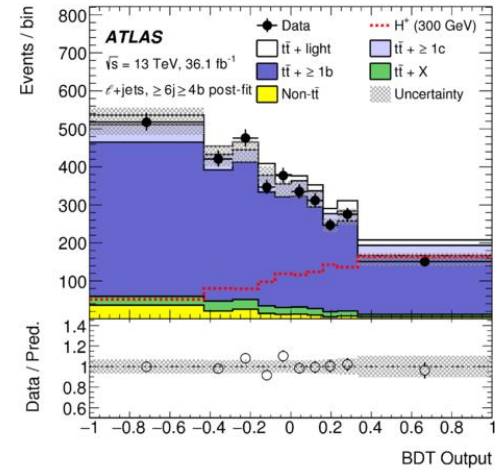
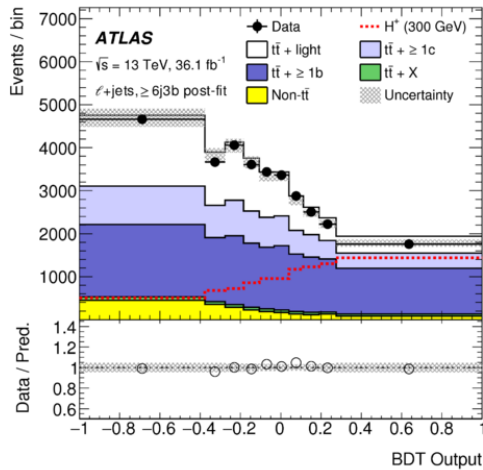
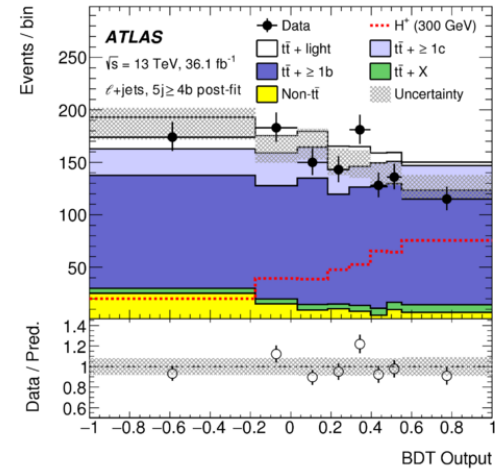
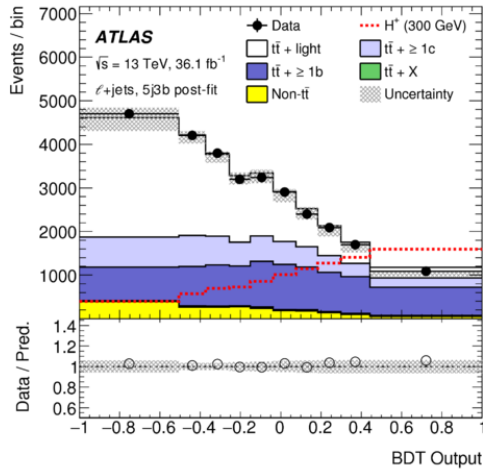
$P_T(j_1)$	Leading jet transverse momentum
$m(b\text{-pair}^{\Delta R^{\min}})$	Invariant mass of pair of b -tagged jets with smallest ΔR
$P_T(j_5)$	Transverse momentum of fifth jet
H_2	Second Fox-Wolfram moment [130] calculated using all jets and leptons
$\Delta R^{\text{avg}}(b\text{-pair})$	Average ΔR between all b -tagged jet pairs in the event
$\Delta R(\ell, b\text{-pair}^{\Delta R^{\min}})$	ΔR between the lepton and the b -tagged jet pair with smallest ΔR
$m(u\text{-pair}^{\Delta R^{\min}})$	Invariant mass of the non- b -tagged jet-pair with minimum ΔR
H_T^{jets}	Scalar sum of all jets transverse momenta
$m(b\text{-pair}^{P_T^{\max}})$	Invariant mass of the b -tagged jet pair with maximum transverse momentum
$m^{\max}(b\text{-pair})$	Largest invariant mass of any two b -tagged jets
$m^{\max}(j\text{-triplet})$	Largest invariant mass of any three jets
D	Kinematic discriminant based on mass templates (for $m_{H^+} \leq 300$ GeV)

BDTによるS/Bの分離



データのBDT分布 ($\ell + jets$)

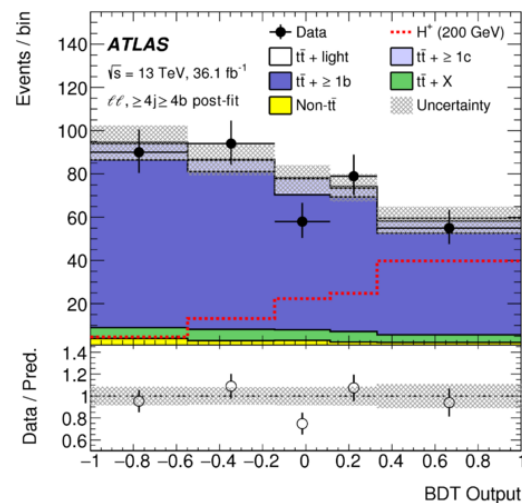
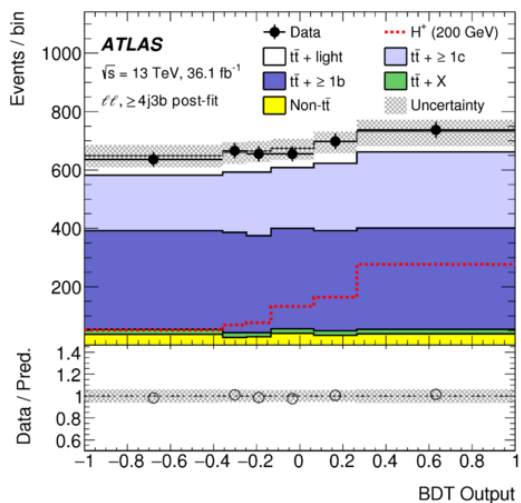
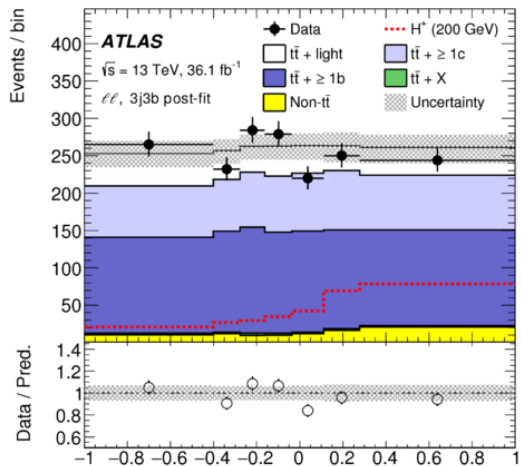
- $M_{H^+} = 300$ GeVの信号に対してトレーニングしたBDTの例。



- バックグラウンドとよく一致している。

データのBDT分布 (dilepton)

- $M_{H^+} = 300$ GeVの信号に対してトレーニングしたBDTの例。

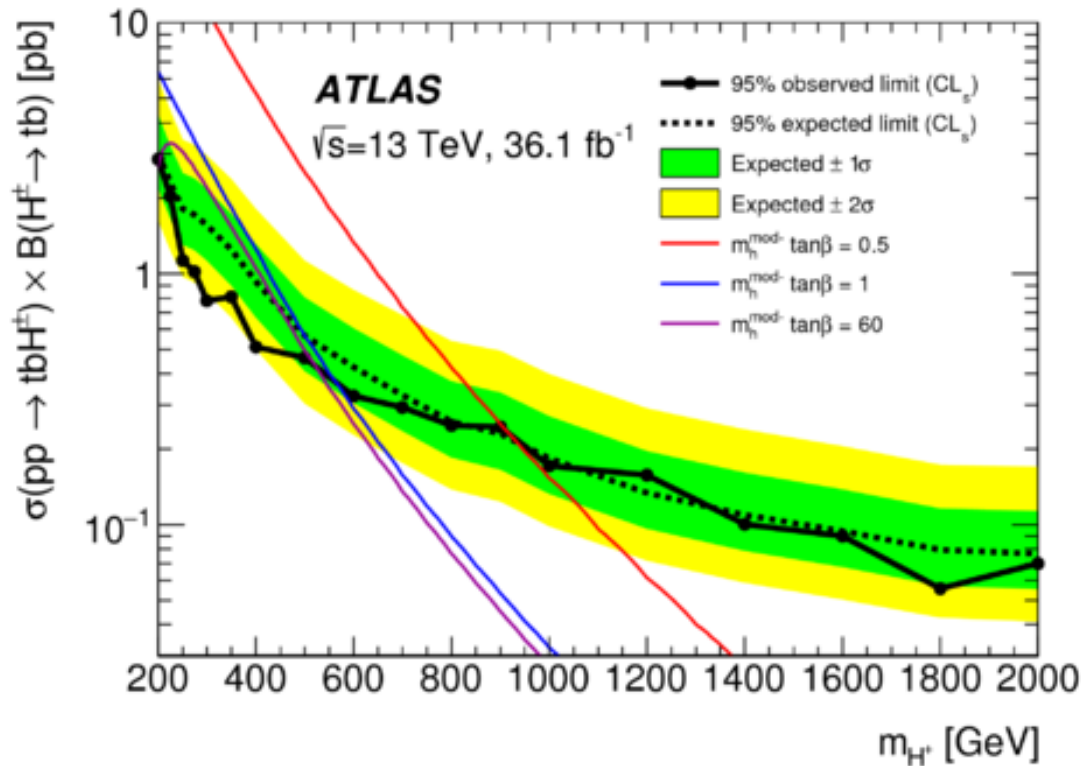


- バックグラウンドとよく一致している。

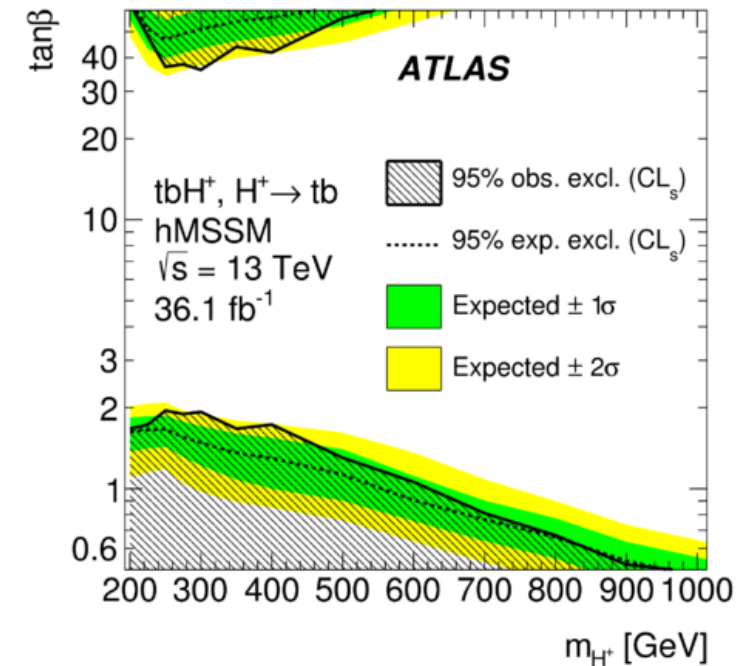
荷電ヒッグス粒子に対する制約

- 荷電ヒッグス粒子の信号は見つからず、データはバックグラウンドとよく一致した。

生成断面積に対する制約

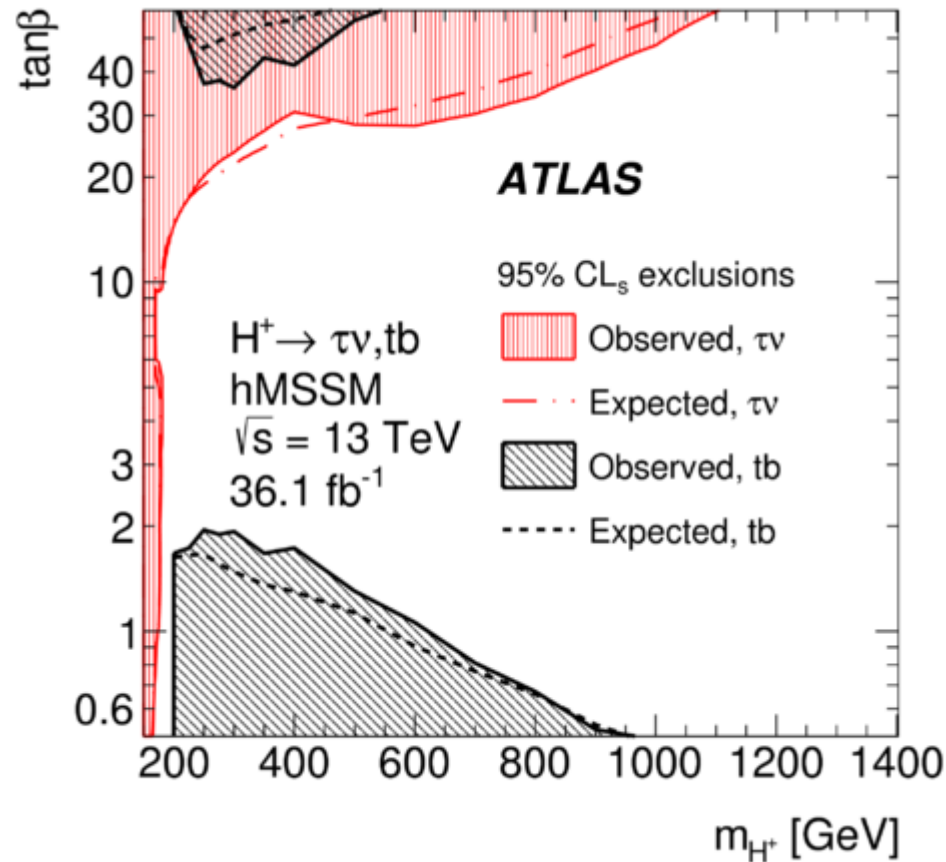


MSSM (hMSSMシナリオ) に対する制約



$H^+ \rightarrow \tau\nu$ チャンネルとの比較

- $H^+ \rightarrow \tau\nu$ チャンネルとは、感度のある領域が異なるため、MSSMの解析という意味でも相補的といえる。

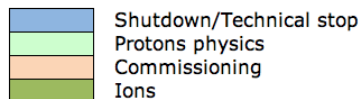
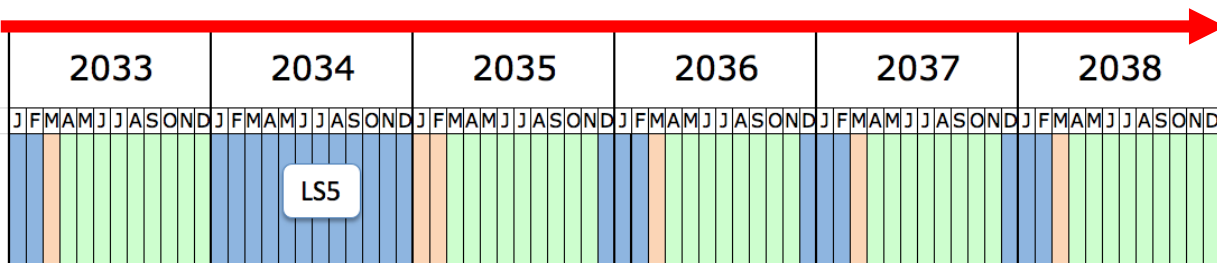
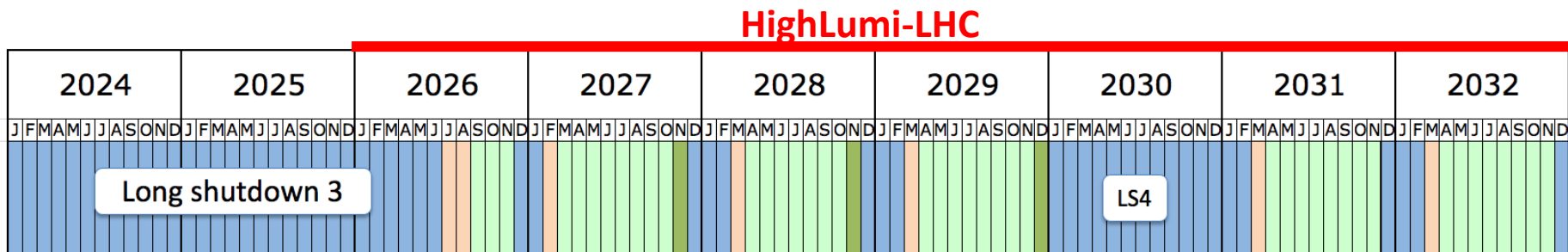
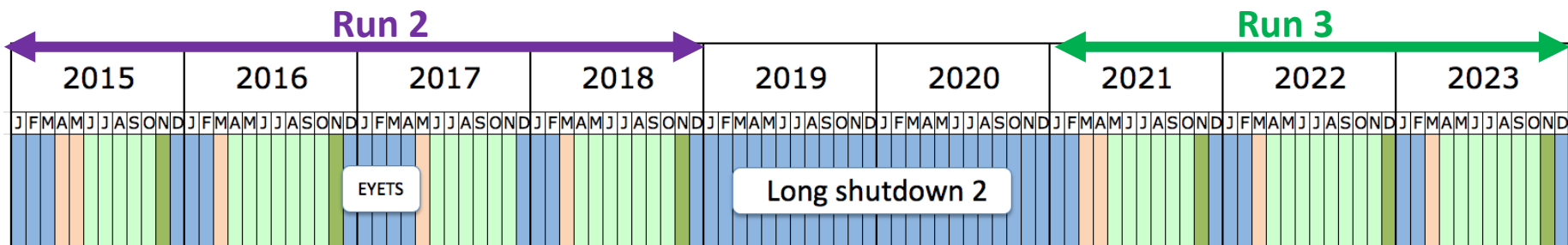


結論

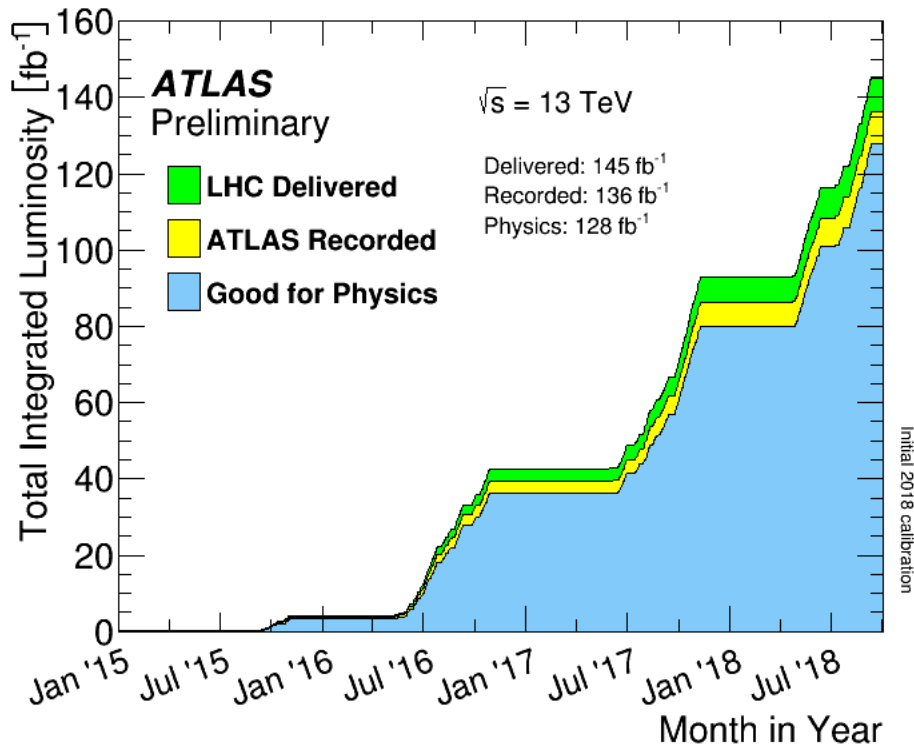
- ATLAS実験では、2015–2016年に取得した重心系エネルギー13 TeVでの陽子・陽子衝突事象 (36.1 fb^{-1}) を用いて、 $H^+ \rightarrow tb$ 崩壊をする H^+ を探索した。
- データはSMバックグラウンドとよく一致した。
- 200-2000 GeVの質量域の H^+ に対して、生成断面積に対する上限を評価した。
 - $\sigma \times Br < 2.9 (0.070) \text{ pb}$ for $m_{H^+} = 200 (2000) \text{ GeV}$
- MSSMに制約を与えた。
 - hMSSMシナリオで、 $0.5 < \tan \beta < 1.95$, $200 < m_{H^+} < 965 \text{ GeV}$ の範囲の一部を棄却した。

バックアップ

LHCの長期将来計画



Luminosities in Run 2



$E_{CM} = 13 \text{ (TeV)}$

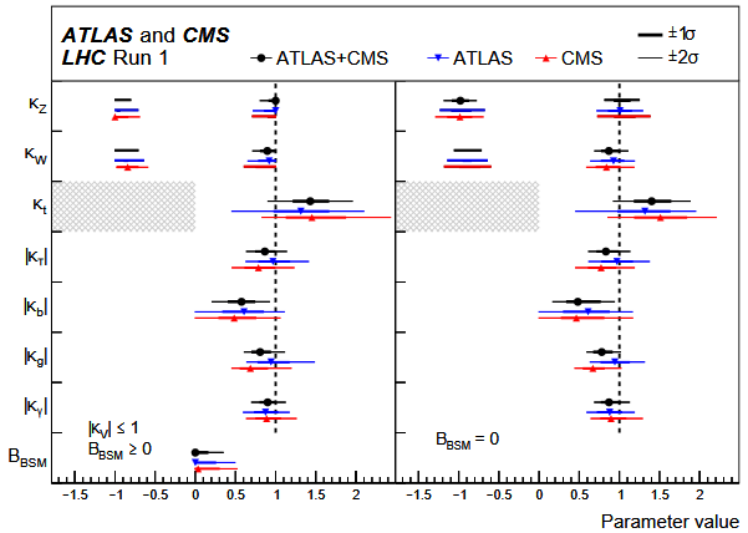
Run 1	$E_{CM}(\text{TeV})$	integ lumi [fb ⁻¹]
2011	7	~5
2012	8	~21

本講演の物理解析では、2015~2016年に取得した36.1 fb⁻¹を使った

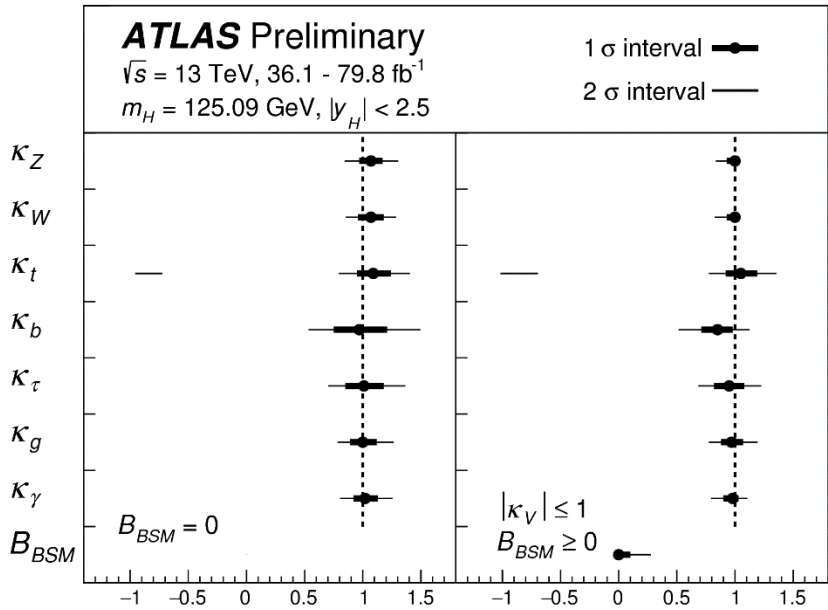
Run 2	Peak lumi E34 cm ⁻² s ⁻¹	Days pp physics	Recorded integ lumi [fb ⁻¹]	累積 Recorded lumi [fb ⁻¹]
2015	0.5	56	3.9	3.9
2016	1.4	122	36.0	39.9
2017	1.9	150	46.9	86.8
2018	2.1	152	62.2	148.8

ヒッグス粒子の結合の測定

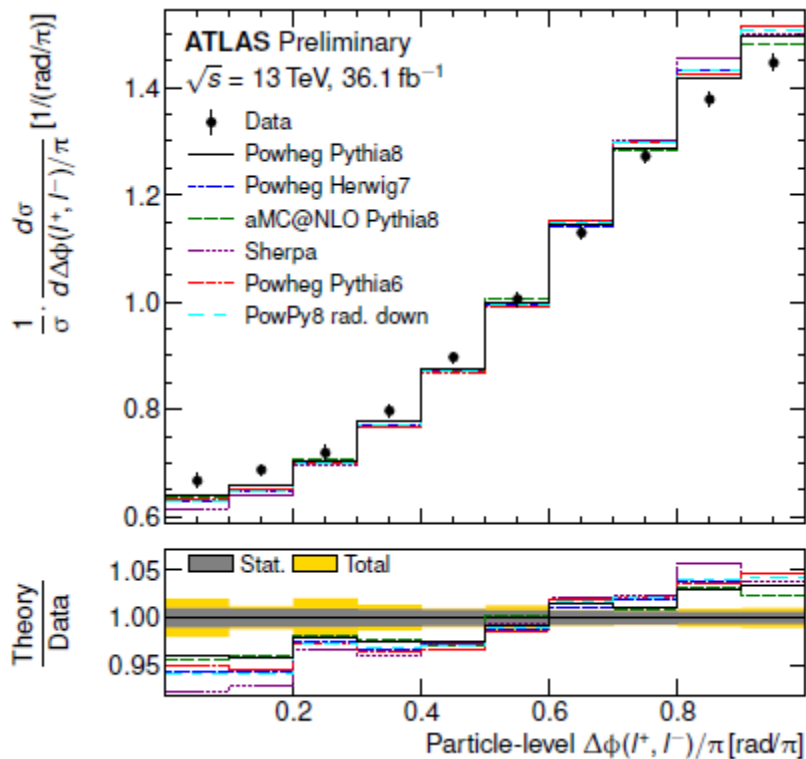
Run 1



Run 2 (36.1-79.8 fb⁻¹)



Top Spin Correlation



- $t\bar{t} \rightarrow (Wb)(Wb) \rightarrow (e\nu b)(\mu\nu b)$
- e と μ の間の角度相関。
- SM(NLO QCD)の予言値よりも強い相関がみられた。
 $f = 1.250 \pm 0.026 \pm 0.063$
- SMからのずれ: 3.2σ

MSSMヒッグスの質量関係式

- $\tan \beta = v_2/v_1$ として、Tree Levelで:

$$M_{H^\pm}^2 = M_A^2 + M_W^2$$

$$M_{h,H}^2 = \frac{1}{2} \left[M_A^2 + M_Z^2 \mp \sqrt{(M_A^2 + M_Z^2)^2 - 4M_A^2 M_Z^2 \cos^2 2\beta} \right]$$

- ただし、Tree Levelでは:

$$M_h \leq M_Z, M_A \leq M_H$$

$$M_W \leq M_{H^\pm}$$

で、 $m_h = 125.5 \text{ GeV}/c^2$ はRadiative Correctionで実現する。

多くの場合、 h がいま見えているヒッグス粒子だと思っている。

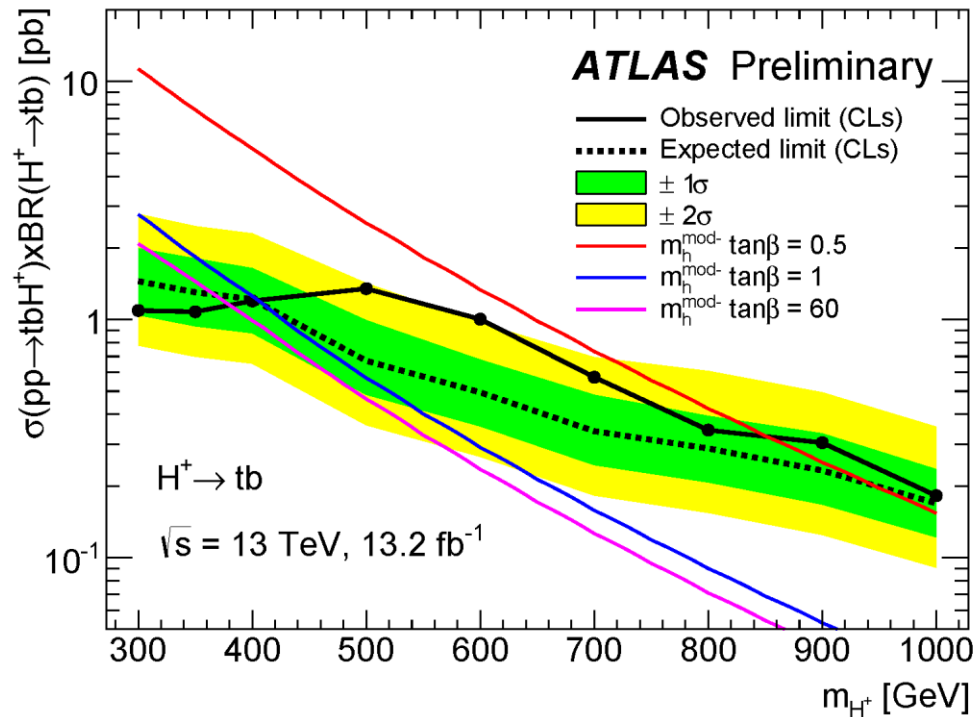
- CP -even mass mixing angle:

$$\text{tg}2\alpha = \text{tg}2\beta \frac{M_A^2 + M_Z^2}{M_A^2 - M_Z^2} \quad \text{with} \quad -\frac{\pi}{2} < \alpha < 0$$

- 2HDM, MSSMでは、 $(M_A, \tan\beta)$, (α, β) など、2パラメータを決めると物理が(ほぼ)決まる。

過去の結果

- 2016年夏(Run 2)のATLASの結果



- 今回は、
 - データ量を約3倍に増加: $13.2 \text{ fb}^{-1} \rightarrow 36.1 \text{ fb}^{-1}$
 - 探索質量範囲を200 – 2000 GeVに広げた。
 - $\ell + jets$ チャンネルに加え、dileptonチャンネルも解析に加えた。

物理オブジェクトの再構成

- Leading lepton
 - e : $P_T > 27 \text{ GeV}, |\eta| < 2.47$
 - μ : $P_T > 27 \text{ GeV}, |\eta| < 2.5$
- 2nd lepton (dileptonチャンネル)
 - e or μ : $P_T > 10 \text{ GeV}$ ($P_T > 15 \text{ GeV}$ for dielectron event)
- Jet: $P_T > 25 \text{ GeV}, |\eta| < 2.5$

解析サブチャンネルのイベント数と、 バックグラウンドの内訳

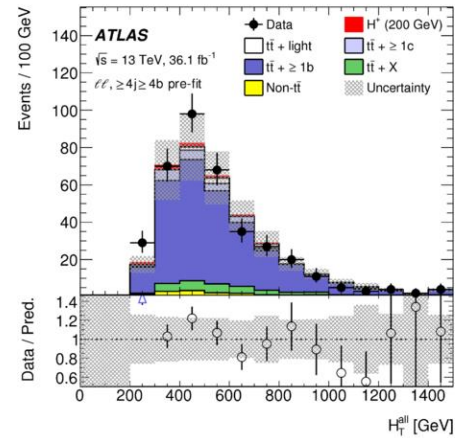
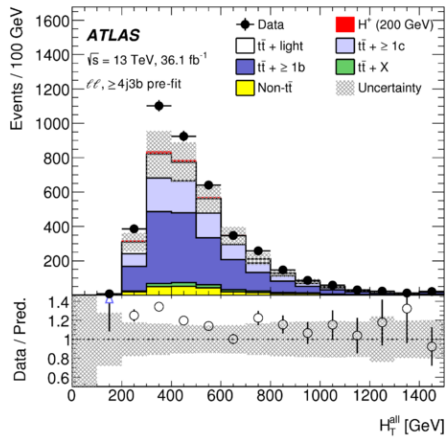
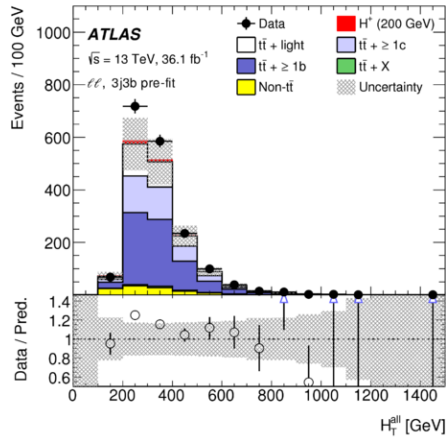
L+jets

Process	CR 5j2b	SR 5j3b	SR 5j≥4b	CR ≥6j2b	SR ≥6j3b	SR ≥6j≥4b
$t\bar{t} + \geq 1b$	15 300 ± 2300	7400 ± 1000	750 ± 110	17100 ± 2800	11 100 ± 1500	2410 ± 260
$t\bar{t} + \geq 1c$	47 000 ± 12 000	6400 ± 1700	260 ± 80	55 000 ± 11 000	9400 ± 2000	450 ± 180
$t\bar{t} + \text{light}$	226 000 ± 11 000	12 200 ± 1100	89 ± 35	132 000 ± 10 000	8500 ± 1100	260 ± 120
Non-prompt leptons	15 000 ± 6000	600 ± 500	11 ± 8	13 000 ± 6000	700 ± 400	4 ± 5
$t\bar{t}W$	340 ± 50	29 ± 4	0.66 ± 0.22	540 ± 80	72 ± 11	5.0 ± 1.2
$t\bar{t}Z$	390 ± 50	78 ± 10	12.2 ± 2.2	720 ± 90	183 ± 23	50 ± 7
Single top Wt	8900 ± 2400	690 ± 210	23 ± 13	5400 ± 1800	640 ± 260	53 ± 31
Other top	328 ± 27	28.2 ± 2.6	3.1 ± 0.6	183 ± 20	46 ± 11	14 ± 5
Diboson	410 ± 210	29 ± 15	2.0 ± 2.1	340 ± 170	37 ± 19	4.3 ± 2.5
$W + \text{jets}$	9000 ± 4000	540 ± 240	16 ± 9	5200 ± 2100	470 ± 200	27 ± 12
$Z + \text{jets}$	2100 ± 600	104 ± 35	4.9 ± 1.8	1300 ± 400	130 ± 40	11 ± 4
$t\bar{t}H$	252 ± 24	127 ± 13	30 ± 4	520 ± 50	315 ± 32	117 ± 16
tH	19.5 ± 2.4	10.6 ± 1.3	2.21 ± 0.32	27.2 ± 3.5	15.7 ± 2.0	5.0 ± 0.7
Total	328 000 ± 7000	28 400 ± 900	1220 ± 60	233 000 ± 6000	31 800 ± 800	3410 ± 150
Data	334 813	29 322	1210	234 053	32 151	3459
H^+ (200 GeV)	470 ± 50	220 ± 23	25.3 ± 3.3	340 ± 50	235 ± 34	60 ± 9
H^+ (800 GeV)	630 ± 90	390 ± 70	56 ± 12	1230 ± 190	1020 ± 170	350 ± 70

Dilepton

Process	CR 3j2b	SR/CR 3j3b	CR ≥4j2b	SR ≥4j3b	SR ≥4j≥4b
$t\bar{t} + \geq 1b$	2330 ± 330	940 ± 130	3300 ± 500	2050 ± 280	322 ± 35
$t\bar{t} + \geq 1c$	6100 ± 1300	520 ± 140	9900 ± 2000	1310 ± 290	30 ± 14
$t\bar{t} + \text{light}$	50 700 ± 2300	260 ± 70	32 500 ± 2100	420 ± 120	4 ± 5
Non-prompt leptons	420 ± 110	6.7 ± 2.4	620 ± 160	48 ± 13	2.2 ± 0.8
$t\bar{t}W$	48 ± 7	1.48 ± 0.17	129 ± 7	9.8 ± 1.1	0.55 ± 0.21
$t\bar{t}Z$	43 ± 5	5.8 ± 1.1	174 ± 10	32.9 ± 2.0	7.0 ± 1.3
Single top Wt	1700 ± 500	40 ± 12	1110 ± 330	63 ± 26	3.9 ± 2.0
Other top	3.9 ± 0.5	0.12 ± 0.05	21.8 ± 3.5	5.8 ± 2.2	2.0 ± 0.9
Diboson	36 ± 4	1.2 ± 0.4	46 ± 6	3.1 ± 0.9	0.48 ± 0.28
$Z + \text{jets}$	1600 ± 500	42 ± 16	1300 ± 400	82 ± 29	5.3 ± 2.0
$t\bar{t}H$	26.2 ± 1.3	8.5 ± 0.5	116 ± 6	52.2 ± 3.5	16.0 ± 1.9
tH	1.95 ± 0.27	0.42 ± 0.10	5.7 ± 0.7	2.14 ± 0.32	0.48 ± 0.09
Total	62 800 ± 2800	1810 ± 110	49 300 ± 2300	4060 ± 200	390 ± 28
Data	62 399	1774	48 356	4047	376
H^+ (200 GeV)	92 ± 12	27 ± 4	72 ± 12	49 ± 8	9.0 ± 1.6
H^+ (800 GeV)	70 ± 12	32 ± 7	212 ± 33	157 ± 27	44 ± 9

H_T^{jet} 分布 (dilepton)



BDT Variable list

ℓ +jets channel				
$p_T(j_1)$	Leading jet transverse momentum			
$m(b\text{-pair}, \Delta R^{\min})$	Invariant mass of pair of b -tagged jets with smallest ΔR			
$p_T(j_5)$	Transverse momentum of fifth jet			
H_2	Second Fox–Wolfram moment [130] calculated using all jets and leptons			
$\Delta R^{\text{avg}}(b\text{-pair})$	Average ΔR between all b -tagged jet pairs in the event			
$\Delta R(\ell, b\text{-pair}, \Delta R^{\min})$	ΔR between the lepton and the b -tagged jet pair with smallest ΔR			
$m(u\text{-pair}, \Delta R^{\min})$	Invariant mass of the non- b -tagged jet-pair with minimum ΔR			
H_T^{jets}	Scalar sum of all jets transverse momenta			
$m(b\text{-pair}, p_T^{\max})$	Invariant mass of the b -tagged jet pair with maximum transverse momentum			
$m^{\max}(b\text{-pair})$	Largest invariant mass of any two b -tagged jets			
$m^{\max}(j\text{-triplet})$	Largest invariant mass of any three jets			
D	Kinematic discriminant based on mass templates (for $m_{H^+} \leq 300 \text{ GeV}$)			
$\ell\ell$ channel, $m \leq 600 \text{ GeV}$		3j3b	$\geq 4j3b$	$\geq 4j \geq 4b$
$m((j, b), p_T^{\max})$	Inv. mass of the jet and b -tagged jet with largest p_T	✓		
$\Delta E(j_3, \ell_2)$	Energy difference between the third jet and the subleading lepton	✓		
$E(j_3)$	Energy of third jet	✓		
$\Delta m(j_1 + j_2, j_1 + j_3 + \ell_2 + E_T^{\text{miss}})$	Inv. mass difference between $j_1 + j_2$ and $j_1 + j_3 + \ell_2 + E_T^{\text{miss}}$	✓		
$\Delta R(j_2, j_1 + \ell_2 + E_T^{\text{miss}})$	Angular difference between subleading jet and $j_1 + \ell_2 + E_T^{\text{miss}}$	✓		
$p_T(b_1)$	p_T of leading b -tagged jet	✓		
$p_T((\ell, b), \Delta\eta^{\max})$	p_T of the pair of lepton and b -tagged jet with largest $\Delta\eta$	✓		
$m((\ell, b), \Delta\phi^{\min})$	Inv. mass of the pair of lepton and b -tagged jet with smallest $\Delta\phi$		✓	
$\Delta E(b_1, \ell_1 + E_T^{\text{miss}})$	Energy difference between the leading b -tagged jet and $\ell_1 + E_T^{\text{miss}}$		✓	
$\Delta m(j_2 + j_3, j_1 + \ell_1 + \ell_2)$	Inv. mass difference between $j_2 + j_3$ and $j_1 + \ell_1 + \ell_2$		✓	
$\Delta m(\ell_1 + j_3 + E_T^{\text{miss}}, j_1 + j_2 + \ell_2)$	Inv. mass difference between $\ell_1 + j_3 + E_T^{\text{miss}}$ and $j_1 + j_2 + \ell_2$		✓	
$\Delta p_T(j_1, j_3)$	p_T difference between leading and third jet		✓	✓
$m^{\min}(b\text{-pair})$	Smallest invariant mass of any b -tagged jet pair		✓	✓
$m^{\min}(\ell, b)$	Smallest invariant mass of any pair of lepton and b -tagged jet		✓	✓
$p_T(b_2 + \ell_1 + \ell_2 + E_T^{\text{miss}})$	p_T of $b_2 + \ell_1 + \ell_2 + E_T^{\text{miss}}$			✓
$\Delta R(\ell_2, j_2 + j_3 + \ell_1 + E_T^{\text{miss}})$	Angular difference between ℓ_2 and $j_2 + j_3 + \ell_1 + E_T^{\text{miss}}$			✓
H_T^{all}	Scalar sum of all jets and leptons transverse energy			✓
$\ell\ell$ channel, $m > 600 \text{ GeV}$		3j3b	$\geq 4j3b$	$\geq 4j \geq 4b$
$p_T((\ell, b), \Delta\eta^{\min})$	p_T of the pair of lepton and b -tagged jet with smallest $\Delta\eta$	✓		✓
$\Delta p_T(j_1, j_3)$	p_T difference between leading and third jets	✓		✓
$\Delta m(j_2 + \ell_1 + E_T^{\text{miss}}, j_1 + j_3 + \ell_1)$	Inv. mass difference between $j_2 + \ell_1 + E_T^{\text{miss}}$ and $j_1 + j_3 + \ell_1$	✓		
$p_T((\ell, b), \Delta R^{\min})$	p_T of the pair of lepton and b -tagged jet with smallest ΔR	✓		
$m(j\text{-pair}, \Delta\eta^{\min})$	Inv. mass of the jet pair with smallest $\Delta\eta$	✓		
$\Delta p_T(j_1, j_2 + E_T^{\text{miss}})$	p_T difference between leading jet and $j_2 + E_T^{\text{miss}}$	✓		
$p_T(j_1 + j_2 + j_3 + \ell_1)$	p_T of $j_1 + j_2 + j_3 + \ell_1$	✓		
$\Delta E(\ell_1 + E_T^{\text{miss}}, j_1 + j_2)$	Energy difference between $\ell_1 + E_T^{\text{miss}}$ and $j_1 + j_2$	✓		
$E(j_1)$	Energy of the leading jet	✓		
$p_T^{\max}(j\text{-pair})$	Maximum p_T of any jet pair	✓	✓	
$m(b_1 + b_2 + \ell_1 + \ell_2 + E_T^{\text{miss}})$	Inv. mass of $b_1 + b_2 + \ell_1 + \ell_2 + E_T^{\text{miss}}$		✓	
$p_T((\ell, b), \Delta\eta^{\min})$	p_T of the lepton- b -jet pair with smallest separation in η		✓	
$\Delta p_T(\ell_2, u_1 + b_2 + E_T^{\text{miss}})$	p_T difference between subleading lepton and $u_1 + b_2 + E_T^{\text{miss}}$		✓	
$\Delta p_T(\ell_2, u_1 + b_1 + E_T^{\text{miss}})$	p_T difference between subleading lepton and $u_1 + b_1 + E_T^{\text{miss}}$		✓	
$\Delta p_T(\ell_2, \ell_1 + E_T^{\text{miss}})$	p_T difference between subleading lepton and $\ell_1 + E_T^{\text{miss}}$		✓	
$\Delta p_T(j_1, j_3 + \ell_1 + E_T^{\text{miss}})$	p_T difference between leading jet and $j_3 + \ell_1 + E_T^{\text{miss}}$		✓	
$\Delta E(\ell_1, j_2 + E_T^{\text{miss}})$	Energy difference between leading lepton and $j_2 + E_T^{\text{miss}}$		✓	
$m^{\min}(b\text{-pair})$	Smallest invariant mass of any b -tagged jet pair		✓	✓
H_T^{all}	Scalar sum of all jets and leptons transverse momenta			✓
$p_T(j_3 + \ell_1)$	p_T of $j_3 + \ell_1$			✓
$\Delta p_T(b_2, b_1 + \ell_2)$	p_T difference between subleading b -tagged jet and $b_1 + \ell_2$			✓
$\Delta p_T(j_2, j_3 + \ell_1 + E_T^{\text{miss}})$	p_T difference between subleading jet and $j_3 + \ell_1 + E_T^{\text{miss}}$			✓
$\Delta E(j_3, j_2 + \ell_1 + \ell_2 + E_T^{\text{miss}})$	Energy difference between third jet and $j_2 + \ell_1 + \ell_2 + E_T^{\text{miss}}$			✓
$\Delta m(j_2 + \ell_2 + E_T^{\text{miss}}, j_1 + \ell_2 + E_T^{\text{miss}})$	Inv. mass difference between $j_2 + \ell_2 + E_T^{\text{miss}}$ and $j_1 + \ell_2 + E_T^{\text{miss}}$			✓

Discriminant D

- 信号とバックグラウンドの分離が非常に悪い $m_{H^+} \leq 300 \text{ GeV}$ だけで、Discriminantを組んだ。

$$\begin{aligned}
 X_{Hh} &= M_{bb_hqq} - M_{b_hqq}(H^+ \rightarrow bt \rightarrow b(b_hqq) \text{崩壊イベント}) \\
 X_{H\ell} &= M_{bb_\ell\ell\nu} - M_{b_\ell\ell\nu}(H^+ \rightarrow bt \rightarrow b(b_\ell\ell\nu) \text{崩壊イベント}) \\
 X_{t_h} &= M_{b_hqq} - M_{qq}
 \end{aligned}$$

イベントkinematicsの信号らしさ:

$P(x)$: 変数 x のPDF (MC study)

$$P_{\text{sig}}^{\text{kin}}(x) = P_{\text{sig}}(X_H) \cdot P_{\text{sig}}(X_{t_h}) \cdot P_{\text{sig}}(M_{b_l l \nu}) \cdot P_{\text{sig}}(M_{qq})$$

Btag情報の信号らしさ:

$P_b(\text{jet}_i)$: jet_i のb-taggingスコアのPDF (MC study)

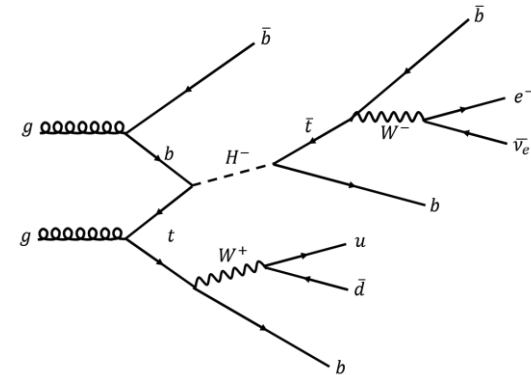
$$P_{\text{sig}}^{\text{btag}}(x) = P_b(\text{jet}1) \cdot P_l(\text{jet}2) \cdot P_l(\text{jet}3) \cdot P_b(\text{jet}4) \cdot P_b(\text{jet}5)$$

イベントの信号らしさ:

$$P_{\text{sig}}(x) = \frac{\sum_{k=1}^{N_p} P_{\text{sig}}^{\text{btag}}(x) P_{\text{sig}}^{\text{kin}}(x)}{\sum_{k=1}^{N_p} P_{\text{sig}}^{\text{btag}}(x)}$$

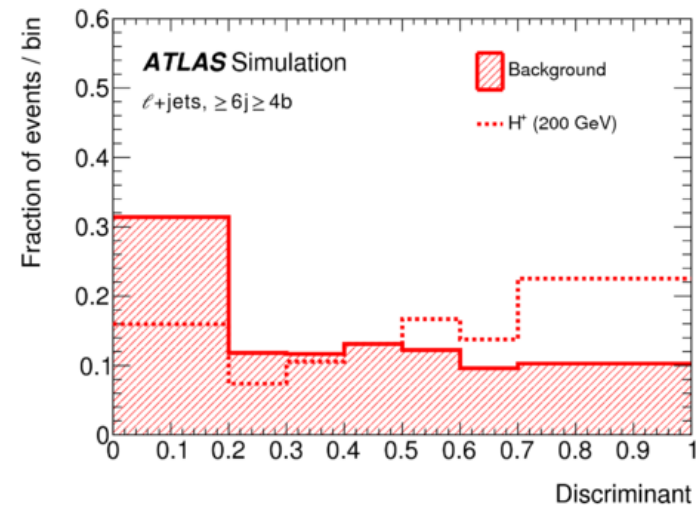
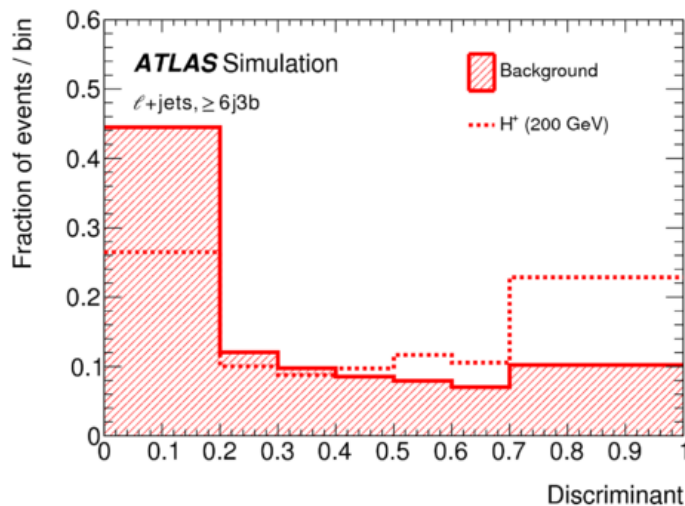
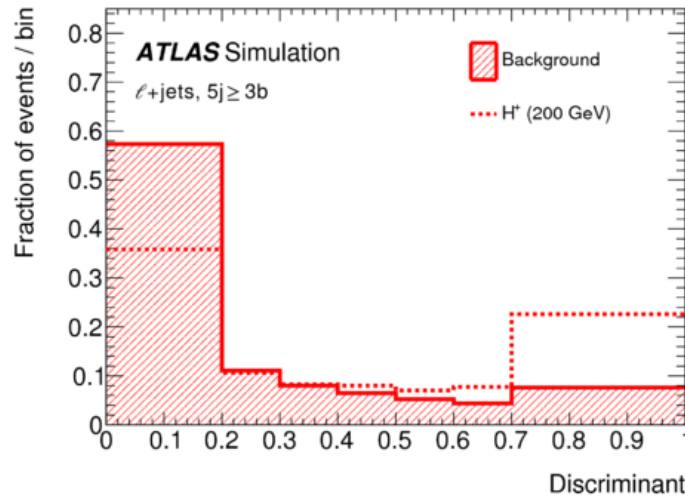
Discriminant定義

$$D = \frac{P_{\text{sig}}(x)}{P_{\text{sig}}(x) + P_{\text{bkg}}(x)}$$



Discriminant D によるS/B分離

- 信号とバックグラウンドの分離が非常に悪い $m_{H^+} \leq 300$ GeV
でだけ、Discriminantを組んだ。



Fox Wolfram moment

- i, j : all leptons and jets in our analysis.

$$\begin{aligned} H_\ell &= \sum_{i,j=1}^N \frac{|\vec{p}_i| |\vec{p}_j|}{\sqrt{s} \sqrt{s}} \frac{4\pi}{2\ell + 1} \sum_{m=-\ell}^{\ell} Y_\ell^m(\Omega_i) Y_\ell^{m*}(\Omega_j) \\ &= \sum_{i,j=1}^N \frac{|\vec{p}_i| |\vec{p}_j|}{s} P_\ell(\cos \Omega_{ij}) , \end{aligned}$$

$$\cos \Omega_{ij} = \cos \theta_i \cos \theta_j + \sin \theta_i \sin \theta_j \cos(\phi_i - \phi_j).$$

- Legendre polynomial:

$$P_0(x) = 1$$

$$P_1(x) = x$$

$$P_2(x) = \frac{1}{2} (3x^2 - 1)$$

$$P_3(x) = \frac{1}{2} (5x^3 - 3x)$$

Systematic Uncertainties

- $\mu = \sigma(pp \rightarrow H^+) \times B(H^+ \rightarrow tb)$ のベストフィット値:

$$\mu(m_{H^+}=200 \text{ GeV}) = -0.4 \text{ pb} / \mu(m_{H^+}=800 \text{ GeV}) = -0.02 \text{ pb}$$

に対して:

Uncertainty Source	$\Delta\mu(H_{200}^+) [\text{pb}]$	$\Delta\mu(H_{800}^+) [\text{pb}]$
Jet flavour tagging	0.70	0.050
$t\bar{t} + \geq 1b$ modelling	0.65	0.008
Jet energy scale and resolution	0.44	0.031
$t\bar{t}$ +light modelling	0.44	0.019
MC statistics	0.37	0.044
$t\bar{t} + \geq 1c$ modelling	0.36	0.032
Other background modelling	0.36	0.039
Luminosity	0.24	0.010
Jet-vertex assoc., pile-up modelling	0.10	0.006
Lepton, E_T^{miss} , ID, isol., trigger	0.08	0.003
H^+ modelling	0.03	0.006
Total systematic uncertainty	1.4	0.11
$t\bar{t} + \geq 1b$ normalisation	0.61	0.022
$t\bar{t} + \geq 1c$ normalisation	0.28	0.012
Total statistical uncertainty	0.69	0.050
Total uncertainty	1.5	0.12

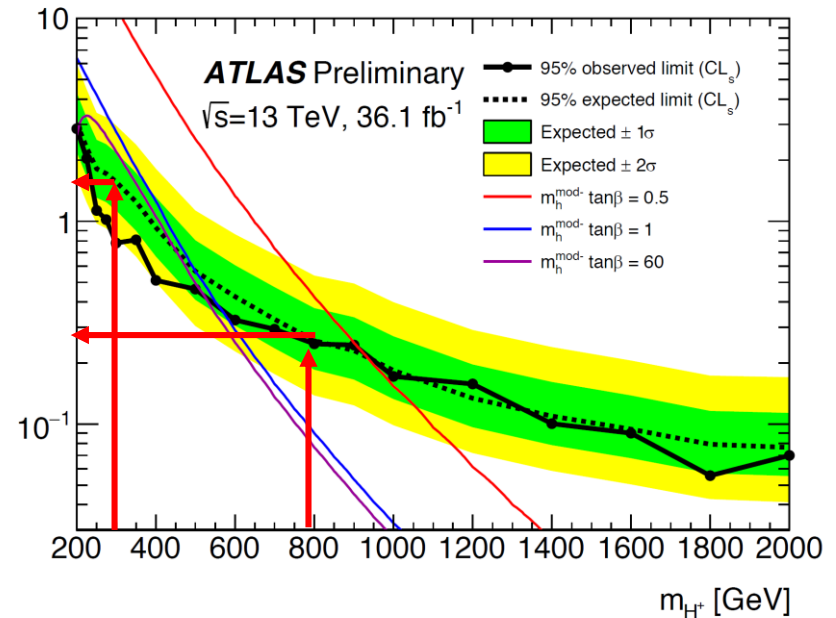
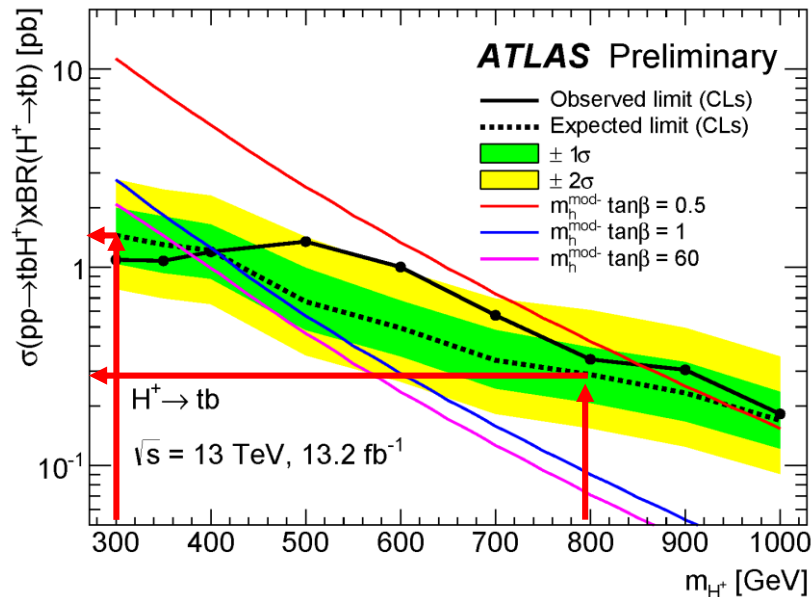
$H^+ \rightarrow tb$ 2016夏と2018夏の結果比較

2016

- $\ell + jets$ のみ
- Kinematic variablesによる多変数解析(BDT)

2018

- $(\ell + jets) + dilepton$
 - $\ell + jets$ の寄与が大
- ベースは多変数解析(BDT)
 - $m_{H^+} < 300$ GeVでは、pseudo-continuous b-tagも含めたDiscriminantをBDTインプットした。



ATLAS hMSSM summary plot

